

4. А. Н. Домарацкий, Ю. Н. Дубнищев, В. П. Коронкевич, В. С. Соболев, А. А. Столповский, Е. Н. Уткин, Н. Ф. Шмойлов. Сравнение показаний лазерного допплеровского измерителя скорости и термоанемометра в следе за цилиндром.—ПМТФ, 1972, № 1.
5. Ю. Г. Василенко, Ю. Н. Дубнищев. Уменьшение уровня постоянной составляющей и шумов в выходном сигнале лазерного допплеровского измерителя скорости.—Автометрия, 1972, № 6.
6. Yu. G. Vasilenko, Yu. N. Dubnitshev, V. P. Koronkevitch, V. S. Sobolev. Laser Velocity Meters—a Comparative Study.—Optics and Laser Technology, 1972, v. 4, № 6.

Поступила в редакцию 10 января 1973 г.

УДК 621.375.826

Ю. В. ТРОИЦКИЙ
(Новосибирск)

РАСЧЕТ ВЫДЕЛЕНИЯ ТЕПЛА В ПЛЕНОЧНОМ МОДОВОМ СЕЛЕКТОРЕ ОДНОЧАСТОТНОГО ОКГ

Использование тонкой поглощающей металлической пленки в резонаторе ОКГ является эффективным средством получения одночастотной генерации [1]. Однако этот метод не может применяться в лазерах большой мощности, так как вследствие нагрева пленки излучением стабильность оптического резонатора может ухудшиться; если же выделение тепла очень велико, то характеристики селектора могут деградировать вплоть до выхода из строя.

Селектор, в частности, может нагреваться спонтанным излучением активной среды; эта доля поглощенной энергии, по-видимому, может быть снижена до безопасного уровня путем экранирования нерабочей части пленки. Вторым источником нагрева является поле стимулированного излучения внутри резонатора. Влияние этого фактора в значительной степени определяется режимом использования поглощающей пленки. Цель настоящей работы—рассчитать количество тепла, выделяемого в пленке, и найти возможность его уменьшения.

Мощность $P_{\text{пл}}$, выделяющаяся в пленке, зависит от ее положения вдоль оси резонатора и минимальна, когда пленка находится в узле электрического поля стоячей волны. Эта мощность равна

$$P_{\text{пл}} = P_{\text{рез}} \left[a_{\text{пл}} + F \left(\frac{2\pi\Delta l_2}{\lambda} \right)^2 \right]. \quad (1)$$

Здесь $P_{\text{рез}}$ —мощность бегущей волны, падающей на пленку со стороны активной среды; F —фактор резкости, определяющий скорость нарастания потерь по мере выхода пленки из узла [2]; λ —длина волны; Δl_2 —расстояние пленки до узла электрического поля; $a_{\text{пл}}$ —потери в пленке в расчете на два прохода в тот момент, когда пленка находится в узле (например, потери, связанные с конечной толщиной металлического слоя). Считаем, что частота генерации не изменяется при выходе пленки из узла, что справедливо, если $l_2 \ll L$, где l_2 —расстояние от пленки до ближайшего зеркала, L —полная длина резонатора; если это условие не выполнено, то величину F необходимо, согласно [3], заменить на $F \left[\frac{n_2 L}{n_2 L + (n_1 - n_2) l_2} \right]^2$. Величина F определяется параметрами поглощающей пленки [3].

Для вычисления $P_{\text{пл}}$ необходимо задать характер изменения $P_{\text{рез}}$ при изменении потерь в резонаторе. Полные потери в резонаторе за два прохода равны $a = a_{\text{рез}} + a_{\text{пл}} + T_{\text{рез}} + F \left(\frac{2\pi\Delta l}{\lambda} \right)^2$, где $a_{\text{рез}}$ — диссипативные потери в резонаторе (исключая пленку); $T_{\text{рез}}$ — доля энергии, излучаемая наружу за счет пропускания зеркал. Считаем, что величина a и усиление лазера малы по сравнению с единицей. Предположим, что

1) усиление α в активной среде (на два прохода) не изменяется в частотном диапазоне, равном межмодовому расстоянию резонатора;

2) лазерный переход насыщается однородно [4], т. е. $P_{\text{рез}} = P_0 \left(\frac{\alpha}{a} - 1 \right)$, где P_0 пропорционально параметру насыщения и площади пучка. Это является хорошим приближением, например, для гелий-неонового ОКГ [5] (за исключением случая очень малых давлений рабочей смеси).

Подставляя $P_{\text{рез}}$ в (1), получаем

$$P_{\text{пл}} = P_0 \left(\frac{\alpha}{a} - 1 \right) \left[a_{\text{пл}} + F \left(\frac{2\pi\Delta l_2}{\lambda} \right)^2 \right]. \quad (2)$$

Выходная мощность лазера при $\Delta l_2 = 0$ равна

$$P_{\text{вых}} = T_{\text{рез}} (P_{\text{рез}})_{\Delta l_2=0} = T_{\text{рез}} P_0 \left(\frac{\alpha}{a_{\text{пл}} + a_{\text{рез}} + T_{\text{рез}}} - 1 \right), \quad (3)$$

поэтому

$$\frac{P_{\text{пл}}}{P_{\text{вых}}} = \frac{a_{\text{пл}} + F \left(\frac{2\pi\Delta l_2}{\lambda} \right)^2}{T_{\text{рез}} (X - 1)} \left[\frac{X}{1 + [F/(a_{\text{рез}} + a_{\text{пл}} + T_{\text{рез}})] \left(\frac{2\pi\Delta l_2}{\lambda} \right)^2} - 1 \right], \quad (4)$$

где $X = \frac{\alpha}{a_{\text{рез}} + a_{\text{пл}} + T_{\text{рез}}}$ — коэффициент превышения над порогом в тот момент, когда пленка находится в узле. На рис. 1 показаны рассчитанные по (4) зависимости величины

$$\frac{T_{\text{рез}}}{a_{\text{рез}} + a_{\text{пл}} + T_{\text{рез}}} \frac{P_{\text{пл}}}{P_{\text{вых}}} \text{ от } \sqrt{\frac{F}{a_{\text{рез}} + a_{\text{пл}} + T_{\text{рез}}}} \left(\frac{2\pi\Delta l_2}{\lambda} \right),$$

(т. е. от нормированного смещения пленки из узла) для $X = 1,1; 1,5; 2; 4; 6; 10$ и 20 ; принято, что $a_{\text{пл}} = 0$. Эти кривые имеют минимум при $\Delta l_2 = 0$ и максимум при некотором Δl_2 , которое определяется равенством

$$\frac{F}{a_{\text{рез}} + a_{\text{пл}} + T_{\text{рез}}} \left(\frac{2\pi\Delta l_2}{\lambda} \right)^2 = \sqrt{X} \sqrt{1 - \frac{a_{\text{пл}}}{a_{\text{рез}} + a_{\text{пл}} + T_{\text{рез}}}} - 1. \quad (5)$$

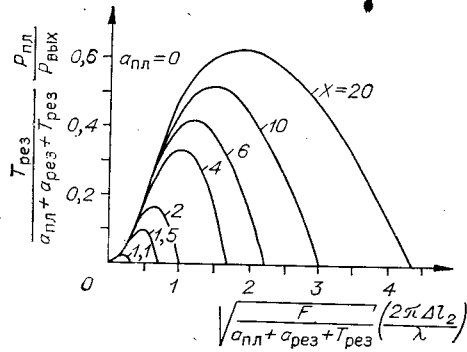


Рис. 1. Зависимость отношения мощности, выделяемой в пленке, к выходной мощности лазера в тот момент, когда пленка находится в узле, от нормированного расстояния пленки до узла стоячей волны; $a_{\text{пл}} = 0$.

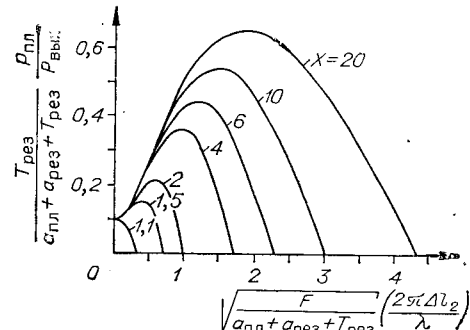


Рис. 2. То же, что на рис. 1, но $a_{\text{пл}} = 0,1$ ($a_{\text{рез}} + a_{\text{пл}} + T_{\text{рез}}$).

Если член справа в (5) меньше нуля или равен ему, то имеет место один максимум при $\Delta l_2 = 0$. На рис. 2 приведены такие же зависимости при $a_{\text{пл}} = 0,1 (a_{\text{рез}} + a_{\text{пл}} + T_{\text{рез}})$.

Из (4) видно, что при заданном превышении над порогом и заданной выходной мощности выделяемое в пленке тепло тем больше, чем меньше коэффициент пропускания $T_{\text{рез}}$ зеркала. Это естественно, так как вызвано увеличением интенсивности излучения внутри лазера при заданном $P_{\text{вых}}$. Практический интерес представляет случай оптимального пропускания $T_{\text{опт}}$, при котором лазер отдает максимальную возможную мощность при $\Delta l_2 = 0$. Дифференцируя (3) по $T_{\text{рез}}$, получаем условие оптимальной «нагрузки» при заданных α , $a_{\text{рез}}$ и $a_{\text{пл}}$:

$$T_{\text{опт}} = (\sqrt{\alpha} - \sqrt{a_{\text{рез}} + a_{\text{пл}}}) \sqrt{a_{\text{рез}} + a_{\text{пл}}}, \quad (6)$$

а подставляя это значение в (4), находим отношение мощностей в случае максимально возможной для данного лазера величины $P_{\text{вых}} = (P_{\text{вых}})_{\text{max}}$:

$$\frac{P_{\text{пл}}}{(P_{\text{вых}})_{\text{max}}} = \frac{Z - \sqrt{Z} - V}{(\sqrt{Z} - 1)^2} \frac{J + V}{\sqrt{Z} + V}, \quad (7)$$

где

$$Z = \frac{\alpha}{a_{\text{пл}} + a_{\text{рез}}}; \quad J = \frac{a_{\text{пл}}}{a_{\text{пл}} + a_{\text{рез}}}; \quad V = \frac{F}{a_{\text{пл}} + a_{\text{рез}}} \left(\frac{2\pi\Delta l_2}{\lambda} \right)^2.$$

На рис. 3 приведены зависимости $P_{\text{пл}}/(P_{\text{вых}})_{\text{max}}$ от V для четырех значений Z ($Z=2, 4, 9$ и 16). Каждому значению соответствуют четыре кривые, вычисленные при разной величине параметра J ($J=0; 0,2; 0,5; 1$), т. е. при разной относительной доле потерь, вносимых пленкой при ее положении в узле электрического поля, в полных начальных потерях резонатора.

Как и следовало ожидать, тепло, выделяемое в пленке, очень сильно зависит от ее расстройки, и для расчета максимальной тепловой на-

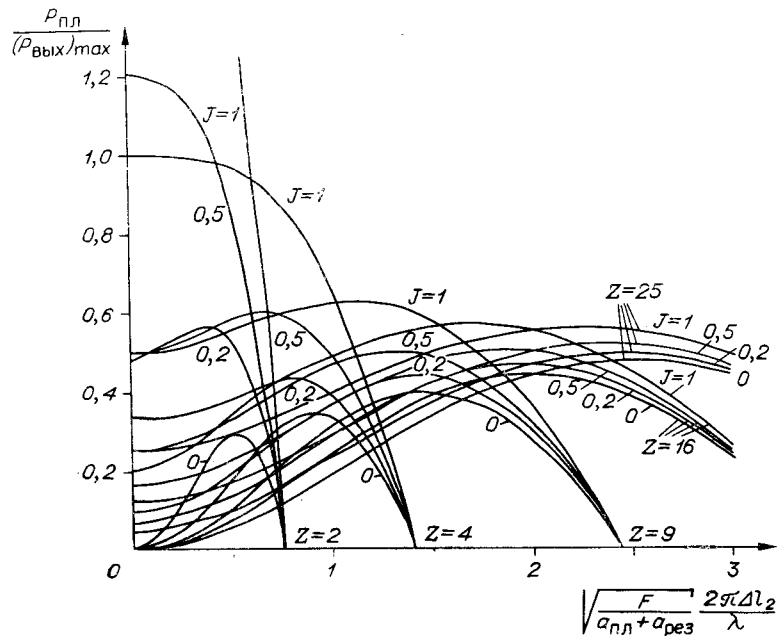


Рис. 3. Зависимость мощности, выделяемой в пленке, от нормированного смещения пленки из узла при оптимальном пропускании зеркал.

грузки селектора необходимо знать, какие значения может принять величина Δl_2 . Рассмотрим, как можно найти Δl_2 . Здесь возможны два варианта в зависимости от режима работы селектора. При перемещении пленки на расстояние $\frac{l_2}{L} \frac{\lambda}{2}$ происходит «перескок» на другую моду, причем точка перескока находится посередине между максимумами соседних продольных мод. Таким образом, максимальное удаление пленки от узла в этом случае равно $\Delta l_2 = \frac{l_2 + \lambda}{L} \frac{\lambda}{4}$, или

$$V_{\max} = \frac{F}{a_{\text{пез}} + a_{\text{пл}}} \left(\frac{\pi l_2}{2L} \right)^2. \quad (8)$$

Используя (8), можно из (7) или рис. 3 найти количество тепла, выделяющегося в пленке. Этот первый вариант нахождения Δl_2 соответствует типичным условиям работы поглощающей пленки в режиме селекции видов колебаний. В качестве иллюстрации рассмотрим случай: $Z=9$; $l_2=2$ см; $F=2$; $L=1$ м; $a_{\text{пл}}+a_{\text{пез}}=0,02$. Подставляя эти исходные данные в (8), получаем $V_{\max}=0,09$, что соответствует $P_{\text{пл}}/(P_{\text{вых}})_{\max}=0,37$ (взято $J=0,2$). Интересно, что увеличение L резко уменьшает мощность, выделяемую в пленке. Так, если в приведенном примере взять $L=2$ м, то отношение мощностей уменьшается до 0,13. К таким же результатам приводит и уменьшение F и l_2 . Однако произведение Fl_2^2 не может быть выбрано меньше некоторой предельной величины, при которой еще имеет место одночастотный режим и которая определяется характером уширения лазерной линии и уровнем возбуждения [6]. Это минимальное значение и, следовательно, нагрузка селектора тем меньше, чем ближе уширение к однородному. При заданных характеристиках активной среды для уменьшения тепловых эффектов необходимо выбирать произведение Fl_2^2 как можно ближе к минимально допустимому, а длину резонатора — наибольшей.

Нагрев селектора значительно уменьшается, если Fl_2^2 выбрано настолько малым, что осуществляется не режим выделения одной моды, а режим сужения спектра (см., например, [7]). В этом случае, грубо говоря, правую часть выражения (8) необходимо разделить на квадрат числа одновременно генерирующих мод.

Рассмотренный вариант расчета справедлив, если величина V_{\max} , определяемая из (8), лежит слева от максимумов кривых рис. 3. Если же она лежит справа, то максимальная тепловая нагрузка имеет место не при V_{\max} , а при V , соответствующем максимуму кривых рис. 3:

$$V = V\bar{Z} (\sqrt{V\bar{Z} - J}) - V\bar{Z}, \quad (9)$$

при котором правая часть формулы (7) максимальна. Максимум существует, если $V\bar{Z} - J > 1$; если это не так, то максимальное значение $P_{\text{пл}}$ получается при $\Delta l_2=0$. Подставляя (9) в (7), находим выражение для максимальной величины отношения мощностей

$$\frac{(P_{\text{пл}})_{\max}}{(P_{\text{вых}})_{\max}} = \left(\frac{V\bar{Z} - \sqrt{V\bar{Z} - J}}{V\bar{Z} - 1} \right)^2, \quad (10)$$

которое пригодно для расчетов, если

$$\frac{F}{a_{\text{пез}} + a_{\text{пл}}} \left(\frac{\pi l_2}{2L} \right)^2 > V\bar{Z} (\sqrt{V\bar{Z} - J} - 1). \quad (11)$$

На рис. 4 показана зависимость $(P_{\text{пл}})_{\max}/(P_{\text{вых}})_{\max}$ от $Z = \frac{\alpha}{a_{\text{пез}} + a_{\text{пл}}}$ для пяти значений

$$J = \frac{a_{\text{пл}}}{a_{\text{пез}} + a_{\text{пл}}} = 0; 0,1; 0,2; 0,5; 1,0.$$

Рассмотрение этого рисунка показывает, что в типичных для лазера режимах максимальная мощность, которая может выделяться в пленке, составляет 30—60% от его максимальной выходной мощности. Правда, при малых Z отношение может доходить до 100%, но это имеет место при таком сочетании параметров лазера, которое практически не встречается — когда превышение над порогом очень мало и внутри лазера теряется значительно больше энергии, чем выводится наружу; в этом случае абсолютная величина энергии, рассеиваемой в пленке, невелика, так как мала величина $(P_{\text{вых}})_{\text{max}} = P_0(a_{\text{рез}} + a_{\text{пл}})(\sqrt{Z} - 1)^2$.

Подводя итог, можно сказать, что графики рис. 3 и 4 позволяют рассчитать выделение тепла в пленке при заданных параметрах лазера, причем при выполнении условия (11) следует пользоваться рис. 4, а при невыполнении (что соответствует более правильному выбору параметров селектора и более благоприятному тепловому режиму) — рис. 3 в сочетании с (8).

Все сказанное выше относилось к использованию поглощающей пленки в качестве селектора мод. Если пленка применяется в режиме селекции длин волн [8], то для расчета максимальной выделяемой энергии может быть применен рис. 4 и формула (10), куда должны подставляться параметры самой интенсивной линии генерации. Однако надо иметь в виду, что выбор оптимального $T_{\text{рез}}$ может быть сделан не по мощной, а по одной из слабых линий. Тогда формула (10) не может быть использована, и необходимо исходить из более общего выражения (4), считая $T_{\text{рез}}$ заданным и находя максимальное значение $P_{\text{вых}}$ по Δl_2 . Получаем

$$\frac{(P_{\text{пл}})_{\text{max}}}{(P_{\text{вых}})_{\text{max}}} = \frac{a_{\text{рез}} + a_{\text{пл}} + T_{\text{рез}}}{T_{\text{рез}}(X-1)} \left(\sqrt{X} - \sqrt{1 - \frac{a_{\text{пл}}}{a_{\text{рез}} + a_{\text{пл}} + T_{\text{рез}}}} \right)^2. \quad (12)$$

В режиме селекции длин волн в пленке может выделяться очень большое количество тепла, особенно если учесть, что $T_{\text{рез}}$ может оказаться значительно меньше оптимального для мощной линии, в результате чего эта линия окажется «недогруженной» и ее поле внутри резонатора может быть большим. Это относится к случаю малых l_2 , когда $\frac{c}{l_2 \sqrt{F}}$ значительно больше ширины линии усиления. Нагрев пленки можно значительно уменьшить, если взять большее значение l_2 — такое, чтобы происходила не только селекция переходов, но и выделение одной моды для каждого перехода. Расчет этого варианта может быть произведен по формулам (4) и (8).

Необходимо сделать следующую оговорку. Приведенный расчет дает величину выделяемой в пленке мощности при самом неблагоприятном положении пленки относительно узла электрического поля. При случайных колебаниях пленки среднее значение этой мощности будет меньше. Если же применена система автоматической подстройки [9], которая «подправляет» положение пленки так, чтобы она всегда находилась в узле (т. е. по максимуму $P_{\text{вых}}$), то выделение тепла может оказаться преибражимо малым даже в случае мощных лазеров.

Полученные формулы представляют интерес еще с одной точки зрения. При использовании других методов селекции мод, например метода Смита и метода дифракционного селектора, величина $P_{\text{пл}}$, которая вы-

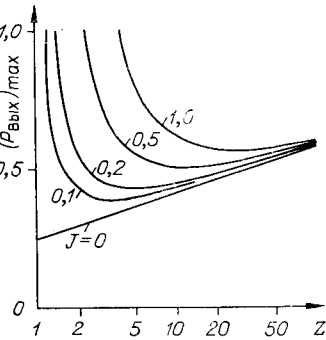


Рис. 4. Зависимость максимальной выделяемой в пленке мощности от Z для различных значений J при условии оптимальной нагрузки лазера.

численна выше, имеет другой смысл — это мощность, излучаемая из резонатора наружу вследствие отражения от светоотделительной пластинки или вследствие дифракции. Регистрируя эту часть мощности при помощи фотодетектора, можно получить сигнал рассогласования, используемый в некоторых системах стабилизации частоты лазера [9, 10]. Приведенные здесь выражения для $P_{\text{пл}}$ могут оказаться полезными для расчета таких систем стабилизации.

Автор выражает искреннюю благодарность Л. А. Гибиной за проведение расчетов на ЭВМ.

ЛИТЕРАТУРА

Optics, 1969, v. 8, № 7.

Поступила в редакцию 16 марта 1972 г.

УДК 621.378.3

П. Я. БЕЛОУСОВ, В. П. КОРОНКЕВИЧ, В. Н. НАГОРНЫЙ
(Новосибирск)

МАЛОГАБАРИТНЫЙ ИЗОТРОПНЫЙ ГЕЛИЙ-НЕОНОВЫЙ ЛАЗЕР С ВНЕШНИМИ ЗЕРКАЛАМИ НА 0,63 мкм

Для ряда практических задач интерферометрии желательно использовать одночастотный изотропный по поляризации лазер. Одно из преимуществ такого лазера — возможность получения двухчастотного режима генерации путем наложения продольного магнитного поля на активную среду. Всеми этими свойствами обладает гелий-неоновый лазер с внутренними зеркалами. В то же время лазер с внутренними зеркалами имеет и ряд недостатков, к которым следует отнести: сложность технологии изготовления, связанной с предохранением диэлектрических покрытий зеркал от действия заряженных частиц и ультрафиолетового излучения, невозможность смены зеркал и внесения в резонатор оптических элементов для изменения режима работы лазера и измерения его характеристик. В связи с этим представляет интерес создание лазера с внешними зеркалами с достаточной для получения двухчастотного режима изотропностью по направлению поляризации. При создании такого лазера нами было использовано «самопросветление» герметизирующей